

سنتز شیمیایی و بررسی خواص فیزیکی و مغناطیسی نانوذرات هیدروکسی آپاتیت دوپ شده با کبالت

نرگس یزدانی^{۱*}، جعفر جوادپور^۱، بیژن افتخاری یکتا^۱

^۱دانشگاه علم و صنعت ایران، دانشکده مواد و متالورژی، تهران، ایران.

تاریخ ثبت اولیه: ۱۳۹۴/۴/۲۱، تاریخ دریافت نسخه اصلاح شده: ۱۳۹۵/۵/۲۶، تاریخ پذیرش قطعی: ۱۳۹۵/۶/۲

چکیده هیدروکسی آپاتیت به دلیل مشابهت با قسمت معدنی استخوان، زیست سازگاری و زیست فعالی خوب در کاربردهای پزشکی بسیار مورد توجه می باشد. در کار پیش رو، نانوذرات هیدروکسی آپاتیت دوپ شده با کبالت به روش هیدروترمال سنتز گردید. برای این منظور، ابتدا محلول کلسیم نیترات و کبالت نیترات با هم مخلوط و سپس دی آمونیوم هیدروژن فسفات به صورت قطره قطره به آن اضافه گردید. در مرحله بعدی سوسپانسیون حاصل تحت شرایط هیدروترمال در دمای ۲۰۰ درجه سانتی گراد حرارت داده شد. نتایج XRD پودرهای حاصل نشان داد که جایگزینی یون کبالت با کلسیم با استناد بر تغییر در موقعیت پیکها انجام گرفته است. ضمناً پهن شدگی و کاهش شدت پیکها با افزایش مقدار کبالت در نتایج XRD بیانگر تأثیر کبالت بر ساختار هیدروکسی آپاتیت بود. همچنین نتایج SEM حاکی از تشکیل ذرات در محدوده نانومتری و همین طور مؤید تغییر مورفولوژی و اندازه ذرات در اثر ورود یون کبالت در ساختار هیدروکسی آپاتیت بود. از آنالیز FTIR نیز برای بررسی تأثیر حضور یونهای کبالت بر ساختار هیدروکسی آپاتیت استفاده گردید. نتایج حاصل از آنالیز VSM نیز تغییر رفتار مغناطیسی ماده از حالت دیامغناطیس به پارامغناطیس را نشان داد. با توجه به ویژگیهای بدست آمده، محصول حاصل پتانسیل خوبی برای کاربرد در زمینه عکس برداری به کمک روش تشدید مغناطیسی، درمان هایپرترمی، جداسازی سلول و رهایش دارو نشان می دهد.

کلمات کلیدی: هیدروکسی آپاتیت، کبالت- هیدروکسی آپاتیت، سنتز هیدروترمال، نانو ذرات پارامغناطیسی.

Chemical Synthesis and Characterization of Physical and Magnetic Properties of Cobalt Doped Hydroxyapatite Nanoparticles

Narges yazdani¹, Jafar javadpour¹, Bijan Eftekhari Yekta¹

¹Iran University of Science and Technology, school of material and metallurgy, Tehran, Iran.

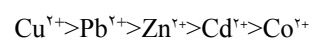
Abstract Synthesis of HAp is of considerable interest because of its similarity to mineral component of bone. It has good biocompatibility and bioactivity for bone tissue therapy. In this project, we looked at the effect of calcium substitution with cobalt divalent cation on the structure and magnetic property of HAp. Cobalt-doped HAp nanoparticles was synthesized via hydrothermal condition. First, Calcium nitrate and Cobalt nitrate was mixed. Then diammonium hydrogen phosphate was added drop by drop and finally Co-HAp was precipitated from the solution. The precipitate was heated at 200°C under hydrothermal condition. XRD pattern analysis verified the substitution of cobalt in HAp structure by showing a shift in the peak positions in the pattern. Furthermore, broadening and reduction in the peak intensities of the peaks with cobalt substitution was also observed in this study. The presence of functional groups related to HAp structure (PO_4^{3-} , OH^-) were confirmed by FTIR analysis. The size and morphology of nanoparticle HAp particles were evaluated by FESEM analysis. Calcium substitution with cobalt induced size reduction and morphology change in HAp particles. VSM analysis was carried out to investigate the magnetization of HAp and Co-HAp nanoparticles. The results showed that cobalt substituted nanoparticles displayed paramagnetic properties, as opposed to the diamagnetism of pure HAp. Cobalt doped HAp, a biomaterial with magnetic properties, could be used in a variety of biomedical applications, including magnetic imaging, drug delivery and hyperthermia based cancer treatment.

Keywords: Hydroxyapatite, Cobalt Doped Hydroxyapatite, Hydrothermal Condition, Nanoparticles, Paramagnetic.

۱- مقدمه

در سالهای اخیر استفاده از سرامیکهای زیستی بر پایه نمکهای کلسیم فسفات مخصوصاً هیدروکسیآپاتیت به عنوان جایگزینهای استخوانی بسیار مورد توجه قرار گرفته است. تمرکز ویژه‌ای برای بهبود خواص سطحی زیست‌مواد به منظور ایجاد برهمکنشی مناسب با بافت صورت گرفته است. در این رویکرد یکی از مهم‌ترین راهکارها استفاده از مواد زیست‌سازگار با ساختار نانو می‌باشد. برای این منظور هیدروکسیآپاتیت که شباهت‌های ساختاری، شیمیایی و زیستی زیادی با ساختار بافت‌های سخت بدن دارد، به عنوان یکی از مناسب‌ترین گزینه‌ها مطرح است [۱].

بلور هیدروکسیآپاتیت دارای شبکه هگزاگونال با اندازه ثوابت شبکه $a_0 = 9/45 \text{ \AA}$ و $c_0 = 6/88 \text{ \AA}$ است و دارای گروه فضایی $P6_3/m$ است. هر واحد شبکه هگزاگونالی دارای ۶ چهاروجهی PO_4^{3-} در ۳ موقعیت کریستالوگرافی متمایز اما کاملاً یکسان از نظر شیمیایی، ۱۰ کاتیون دو ظرفیتی Ca^{2+} در دو موضع بلوری ناهمسان و ۲ آنیون یک ظرفیتی OH^- است. فرمول شیمیایی هیدروکسیآپاتیت به صورت $Ca_{10}(PO_4)_6(OH)_2$ نوشته می‌شود [۲]. به خاطر تنوع ساختار هیدروکسیآپاتیت، خواص هیدروکسیآپاتیت می‌تواند با جایگزینی یونی اصلاح یا تقویت گردد. در واقع ساختار هیدروکسیآپاتیت به گونه‌ای است که جایگزینی یون‌های Ca^{2+} ، PO_4^{3-} و OH^- با یون‌های مناسب دیگر ممکن می‌باشد. برای مثال Ca^{2+} در ساختار هیدروکسیآپاتیت می‌تواند با Na ، K ، Ag ، Mg ، Mn ، Co ، Pb ، Cu ، Zn ، Cd و Sr جایگزین شود که این جایگزینی سبب بهبود ساختار و خواص هیدروکسیآپاتیت می‌گردد. مقایسه‌ای که برای کاتیون‌های دو ظرفیتی جهت رقابت در جایگزینی در ساختار هیدروکسیآپاتیت صورت گرفته این صورت است که [۳]:



یکی از خواص هیدروکسیآپاتیت که می‌تواند با جایگزینی یونی بهبود یابد، خاصیت مغناطیسی آن است. هیدروکسیآپاتیت خالص دیامغناطیس می‌باشد ولی با جایگزینی یا تلفیق برخی یون‌های فلزی دارای خاصیت مغناطیسی، می‌توان به هیدروکسیآپاتیتهی مغناطیسی دست

یافت. نانوذرات زیست‌سازگار دارای خواص مغناطیسی، کاربردهایی در زمینه عکس‌برداری به کمک روش تشدید مغناطیسی^۱، درمان سرطان با استفاده از هایپرترمی^۲، جداسازی سلول^۳ و رهایش دارو^۴ دارند. استفاده از مواد مغناطیسی در چنین کاربردهای پزشکی منجر به تشخیص بیماری‌های مختلفی شده است. متأسفانه، اغلب نانوذرات مغناطیسی در این راستا حاوی اکسید آهن می‌باشند. ایمنی پایین این نوع مواد از جمله سمیت و تخریب‌پذیر نبودن، بازده درمانی آن‌ها را محدود می‌نماید. به همین دلایل، اکسید آهن اغلب نیاز به پوششی زیست‌سازگار دارد. با توجه به زیست‌سازگاری و زیست‌تخریب‌پذیری بالای هیدروکسیآپاتیت، به کاربردن هیدروکسیآپاتیت مغناطیسی می‌تواند مشکل سمیت که مسئله عمده مطرح در بخش‌های دارورسانی، تصویربرداری و درمان سرطان است را به حداقل برساند. امروزه روشی رایج برای دستیابی به هیدروکسیآپاتیت با خواص مغناطیسی، تولید هیدروکسیآپاتیت دوپ شده با آهن می‌باشد. روشی دیگر که منجر به ایجاد خاصیت مغناطیسی در هیدروکسیآپاتیت می‌گردد، جایگزینی یون کلسیم با یون کبالت موجود در شبکه کریستالی هیدروکسیآپاتیت می‌باشد [۴]. کبالت به عنوان جایگزین در هیدروکسیآپاتیت انتخاب شده زیرا: یون کبالت هنوز به عنوان جایگزین یونی رایج برای کلسیم موجود در ساختار هیدروکسیآپاتیت در ترمیم بافت‌های سخت شناخته نشده است؛ همچنین اخیراً مشخص شده که کبالت - هیدروکسیآپاتیت می‌تواند ممان مغناطیسی محدودی در میدان مغناطیسی در مقایسه با هیدروکسیآپاتیت خالص دیامغناطیس ایجاد کند و به علاوه از کبالت به عنوان عنصر تشکیل‌دهنده آلیاژهای به‌کاررفته در کاشتنی‌های جراحی استفاده شده است [۵].

¹ Magnetic resonance imaging (MRI)

² Hyperthermia treatment

³ Cell separation

⁴ Drug delivery

ذرات و همچنین مورفولوژی سوزنی آنها را اثبات کرده است. آنها همچنین نشان داده‌اند که نانوذرات کبالت-هیدروکسی آپاتیت دارای خاصیت آنتی‌باکتریال می‌باشد. در سال ۲۰۱۴ نیز کرامر^۴ [۴] و همکارانش از جنبه دیگری به بررسی ذرات کبالت-هیدروکسی آپاتیت پرداخته‌اند. در این کار نشان داده شده که جایگزینی مقادیر کمی از کبالت در ساختار هیدروکسی آپاتیت، به آن خاصیت پارامغناطیس می‌بخشد. همین‌طور نتایج حاصل از تخریب نشان‌دهنده این مطلب است که کبالت آزاد شده از ذرات کبالت-هیدروکسی آپاتیت منجر به سمیت زیاد از حد نمی‌گردد. بنابراین این ترکیب به‌عنوان ترکیبی درخور توجه با قابلیت مغناطیسی برای کاربردهای پزشکی مطرح می‌گردد. سنتیل گورو^۵ و همکارانش نیز به بررسی خاصیت رگ‌زایی و استخوان‌سازی ذرات کبالت-هیدروکسی آپاتیت پرداختند [۹].

از آن جایی که یون کبالت به‌عنوان جدیدترین کاتیون مورد استفاده جهت دوپ شدن در ساختار هیدروکسی آپاتیت مطرح است و روی خاصیت مغناطیسی ایجاد شده در هیدروکسی آپاتیت به واسطه آن تمرکز ویژه‌ای نشده، در این پروژه به سنتز نانوذرات کبالت-هیدروکسی آپاتیت با استفاده از روش هیدروترمال پرداخته شده و به‌منظور بررسی فازی ساختار از آنالیز پراش پرتو ایکس (XRD)، بررسی شیمیایی آن از آنالیز تبدیل فوریه فروسرخ (FTIR)، بررسی ریزساختار و مورفولوژی ذرات از آنالیز میکروسکوپ الکترونی روبشی نشر میدانی^۶ (FESEM) و از آنالیز مغناطیس‌سنجی نمونه ارتعاشی^۷ (VSM) برای بررسی رفتار مغناطیسی نانوذرات کبالت-هیدروکسی آپاتیت استفاده گردید.

کبالت، عنصری ضروری برای عملکرد صحیح بدن انسان است که یکی از موارد استفاده آن، ویتامین B۱۲ است که حاوی عنصر کبالت می‌باشد [۴]. ویتامین B۱۲ برای تنظیم میزان تولید سلول‌های خونی قرمز، سنتز DNA در سلول‌ها و ساخت غلاف میلین برای محافظت از سلول‌های عصبی و فرستنده‌های عصبی ضروری می‌باشد [۲]. به‌طور میانگین، هر فرد روزانه حدود $300 \mu\text{g}$ کبالت از مواد غذایی و مایعات دریافت می‌کند. بدن فردی با میانگین وزنی ۷۰ کیلوگرم، دارای حدود $1/5 \text{mg}$ کبالت می‌باشد که به‌گونه‌ای در بدن توزیع گشته که بیشتر میزان آن در کبد یافت می‌شود. کبالت اضافه غالباً توسط کلیه‌ها دفع می‌گردد. اگرچه کبالت به‌طور طبیعی در بدن انسان وجود دارد و بدن انسان قادر به دفع مقادیر متعادل کبالت اضافه می‌باشد ولی حضور یون‌های کبالت بسیار زیاد به‌صورت بالقوه سمی است [۴].

اخیراً مطالعات محدودی در مورد جایگزینی یون کبالت در شبکه هیدروکسی آپاتیت انجام شده است. استوچانویک^۱ [۶][۷] و همکارانش CoHAp را به روش هیدروترمال سنتز کردند. ساختار کریستالی ماده سنتز شده با این روش، به‌طور دقیق مورد بررسی قرار گرفت ولی در مورد تأثیر کبالت بر سایر خواص این ترکیب، نتایج محدودی گزارش شد. در سال ۲۰۱۳، دو گروه در مورد دوپ شدن کبالت در ساختار هیدروکسی آپاتیت بررسی‌هایی را صورت دادند. ایگنجاتویک^۲ [۵] و همکارانش از روش هیدروترمال برای سنتز کبالت-هیدروکسی آپاتیت استفاده کردند. آنها نشان دادند که این ترکیب برای درمان پوکی استخوان فک قابل استفاده است. تانک^۳ [۸] و همکارانش نانوذرات هیدروکسی آپاتیت و کبالت-هیدروکسی آپاتیت را با استفاده از سورفکتانت سنتز کردند. آنالیزهای انجام شده توسط آنها، دوپ شدن کبالت در هیدروکسی آپاتیت را تأیید کرده و همین‌طور نانو بودن سایز

⁴ Kramer

⁵ Senthilguru

⁶ Field Emission Scanning Electron Microscope

⁷ Vibrating sample magnetometer

¹ Stojanovic

² Ignjatovic

³ Tank

۲- روش تحقیق

۱-۲- سنتز نانوذرات کبالت- هیدروکسی آپاتیت

به منظور تهیه نانوذرات هیدروکسی آپاتیت دوپ شده با کبالت به روش هیدروترمال از نمک نیترات کلسیم چهار آبه به عنوان منبع تأمین یون کلسیم، دی آمونیوم هیدروژن فسفات

به عنوان منبع یون فسفات و از نمک نیترات کبالت به عنوان منبع کبالت ساخت شرکت Merck استفاده گردید. با حفظ نسبت $Ca+Co/P$ برابر با ۱/۶۷، دو ترکیب با نسبت های ۰ و ۵ درصد وزنی کبالت تهیه گردیدند. فرمول شیمیایی و کد نمونه ها در جدول (۱) آورده شده است.

جدول ۱. فرمول شیمیایی و کد نمونه ها.

کد نمونه	فرمول $Ca_{10-x} Co_x (PO_4)_6(OH)_2$	X	درصد وزنی کبالت (wt%)
Hap	$Ca_{10} (PO_4)_6(OH)_2$	۰	۰
Co Hap 5	$Ca_{9.145} Co_{0.855}(PO_4)_6(OH)_2$	۰/۸۵۵	۵

درجه سانتی گراد در آن خشک شد و با استفاده از هاون عقیق پودر گردید.

۲-۲- آنالیز پراش پرتو ایکس (XRD)

به منظور بررسی فازهای تشکیل شده در حین سنتز و بررسی میزان بلورینگی فازها و همچنین تشخیص جایگزینی کبالت در ساختار هیدروکسی آپاتیت از دستگاه XRD (JEOL, JDX8030, Japan) با پرتو $Cu K\alpha$ (طول موج $\lambda = 0.15418 \text{ nm}$) استفاده شد. الگوهای بدست آمده از نمونه های با مقادیر مختلف کبالت توسط نرم افزار X'Pert HighScore PANalytical شناسایی و هم زمان با کارت های استاندارد JCPDS موجود در بانک اطلاعاتی نرم افزار مقایسه شد.

۲-۳- آنالیز طیف سنجی تبدیل فوریه فروسرخ (FTIR)

به منظور بررسی پیوندهای شیمیایی نمونه ها از دستگاه آنالیز طیف سنجی تبدیل فوریه فروسرخ (FTIR-8400S, Shimadzu, Japan) استفاده شد. برای این کار، از پودرهای سنتز شده پس از اختلاط با KBr، قرص تهیه شد و در جا نمونه ای قرار گرفت. نمونه ها در محدوده عدد موجی 4000 cm^{-1} تا 400 cm^{-1} طیف گیری شدند.

واکنشگرهای اولیه به مقدار کافی توزین و در ۳۰ میلی لیتر آب مقطر ریخته شد و به طور جداگانه روی همزن مغناطیسی قرار گرفتند تا مواد اولیه به خوبی در آب مقطر حل گردد. سپس در حین هم خوردن محلول کبالت نیترات به محلول کلسیم نیترات اضافه و از طرفی دیگر pH دی آمونیوم هیدروژن فسفات با استفاده از محلول آمونیاک، در حدود ۱۰ تنظیم گردید. پس از ۵ دقیقه هم خوردن، محلول دی آمونیوم هیدروژن فسفات به صورت قطره قطره به محلول حاوی کلسیم نیترات و کبالت نیترات در حال هم خوردن اضافه شد. با افزودن محلول حاوی یون های فسفات به محلول حاوی یون های کلسیم و کبالت، محلول از حالت کاملاً شفاف به حالت کدر درمی آمد که نشان دهنده انجام واکنش بین یون های مذکور بود. بعد از ۱۵ دقیقه هم خوردن، pH ترکیب با استفاده از آمونیاک حدوداً روی ۱۰ تنظیم و پس از ۵ دقیقه هم خوردن مجدد از روی همزن مغناطیسی برداشته شد. سپس سوسپانسیون حاصل به داخل محفظه ای تفلونی (PTFE) منتقل گردید و محفظه در داخل سل هیدروترمال از جنس فولاد زنگ نزن قرار گرفت. سل هیدروترمال به مدت ۸ ساعت و دمای ۲۰۰ درجه سانتی گراد در آن حرارت داده شد [۶]. سپس رسوب حاصل، سه بار با آب مقطر و توسط سانتریفیوژ با دور ۴۰۰۰ rpm، دمای محیط و مدت زمان ۲ دقیقه شست و شو داده شد و بعد از آن به مدت ۲۴ ساعت و دمای ۸۰

همان‌طور که ملاحظه می‌گردد طیف پراش حاصل کاملاً با طیف پراش استاندارد کارت ۴۳۲-۹ مطابقت دارد که با استناد بر آن، ساختار کریستالی خالص پودر هیدروکسی‌آپاتیت حاصل از سنتز هیدروترمال تأیید می‌گردد. با افزایش میزان کبالت دوپ شده در ساختار هیدروکسی‌آپاتیت، پیک‌های پراش پهن‌تر شده و شدت آن‌ها کاهش می‌یابد که این در نتیجه کاهش بلورینگی ساختار در اثر حضور کبالت می‌باشد. به‌طور کلی جان‌شینی ایزومورف یون‌های متفاوت (از نظر اندازه) داخل شبکه باعث تغییر در فواصل کریستالی اتم‌های تشکیل دهنده می‌شود و تغییرات به وجود آمده در پارامترهای شبکه منجر به ایجاد شیفت در پیک‌های پراش می‌گردد [۸]. همان‌طور که در شکل (۱) نیز ملاحظه می‌شود پیک‌ها به میزان ۰/۱ درجه شیفت پیدا کرده‌اند که با محاسبه حجم سلول واحد ملاحظه می‌شود که مقدار آن از $523/1934 \text{ \AA}^3$ به $527/6376 \text{ \AA}^3$ کاهش پیدا کرده است در حالی که این میزان کاهش از $529/34 \text{ \AA}^3$ در هیدروکسی‌آپاتیت به $527/36 \text{ \AA}^3$ ، $527/54$ و $526/67 \text{ \AA}^3$ به ترتیب در هیدروکسی‌آپاتیت دوپ شده با ۵، ۱۰ و ۲۰ at% کبالت گزارش شده است [۶].

۲-۳- بررسی ساختار شیمیایی با استفاده از طیف‌سنجی تبدیل فوریه فروسرخ (FTIR)

شناسایی ساختار شیمیایی که شامل شناسایی گروه‌های مختلف موجود در ساختار بلوری هیدروکسی‌آپاتیت (گروه‌های OH^- ، PO_4^{3-} ، آب جذب شده و ناخالصی‌های آنیونی) است، توسط روش طیف‌سنجی تبدیل فوریه فروسرخ (FTIR) انجام می‌گیرد. در شکل (۲) طیف FTIR هیدروکسی‌آپاتیت و کبالت-هیدروکسی‌آپاتیت سنتز شده آورده شده است. در این طیف پیک‌های ظاهر شده در $600-450 \text{ cm}^{-1}$ مربوط به حرکات خمشی پیوندها در گروه فسفات و پیک‌های موجود در نواحی $1050-950 \text{ cm}^{-1}$ نشان‌دهنده حرکات کششی گروه فسفات در شبکه بلوری هیدروکسی‌آپاتیت هستند.

پیک‌های ظاهر شده در محدوده $3500-3200 \text{ cm}^{-1}$ معرف حرکات کششی یون‌های هیدروکسیل موجود در شبکه بلوری هیدروکسی‌آپاتیت می‌باشند. پیک‌های موجود در

۲-۴- میکروسکوپ الکترونی روبشی نشر میدانی (FESEM)

برای بررسی و تعیین ریزساختار، مورفولوژی و اندازه ذرات از میکروسکوپ الکترونی روبشی نشر میدانی (Czech Republic, TESCAN, MIRA//) استفاده گردید. به این منظور نمونه‌ها در اتانول ریخته و به مدت ۳ دقیقه با استفاده از دستگاه اولتراسونیک به طور کامل دیسپرس شدند. سپس یک قطره از هرکدام بر ورقه‌ای آلومینیومی چکانده و در نهایت پس از خشک شدن، جهت رسانایی الکتریکی، توسط لایه‌ای بسیار نازک از طلا پوشش داده شد. تصاویر با بزرگنمایی ۱۰۰ هزار برابر گرفته شد.

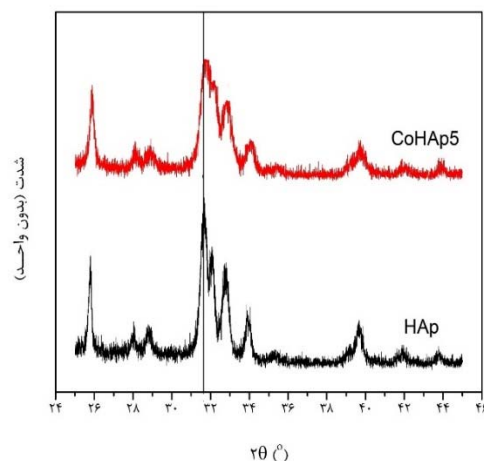
۲-۵- مغناطیس‌سنجی نمونه ارتعاشی (VSM)

رفتار مغناطیسی نمونه‌ها با استفاده از مغناطیس‌سنجی نمونه ارتعاشی (MDk6، شرکت مغناطیس دقیق کویر، ایران) سنجیده شد. خاصیت مغناطیسی نانوذرات هیدروکسی‌آپاتیت و کبالت-هیدروکسی‌آپاتیت با استفاده از VSM در دمای اتاق با میدان مغناطیسی ماکزیموم ۱۵ کیلو اوسلا (kOe) اندازه‌گیری گردید.

۳- نتایج و بحث

۳-۱- شناسایی فازها با استفاده از پراش پرتو ایکس (XRD)

شکل (۱) طیف پراش XRD نمونه‌های HAp و CoHAp5 را نشان می‌دهد. شماره کارت استاندارد JCPDS برای شناسایی ماده معدنی هیدروکسی‌آپاتیت ۴۳۲-۹ است.



شکل ۱. طیف پراش پرتو ایکس نمونه‌های HAp و CoHAp5.

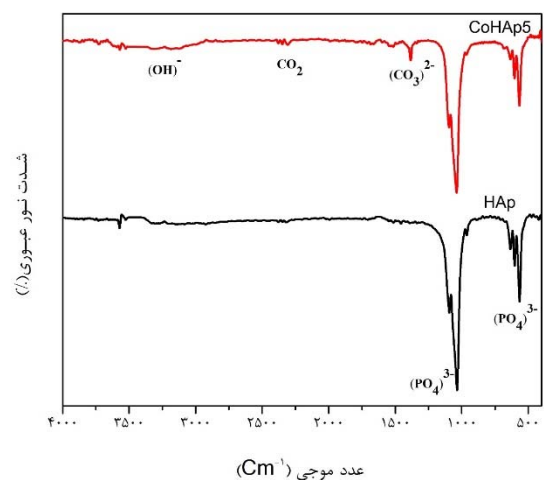
سلول واحد کبالت- هیدروکسی آپاتیت کوچک تر شده و در نهایت منجر به کوچک شدن اندازه ذرات می گردد. از طرف دیگر توسعه جوانه زنی نیز عامل محتمل دیگر کاهش اندازه ذرات کبالت هیدروکسی آپاتیت می تواند باشد [۱۱]. مورفولوژی آنها نیز از حالت میله ای شکل به حالت کروی شکل تغییر کرده است که این تغییر مورفولوژی ناشی از حضور کبالت در ساختار هیدروکسی آپاتیت می باشد. براساس تحقیقات صورت گرفته این طور گفته می شود که تشکیل کریستال های میله ای شکل تحت شرایط هیدروترمال شامل دو مرحله می باشد؛ مرحله اول جوانه کریستالی در اثر واکنش یونها در محیط فوق اشباع تشکیل می شود و در مرحله دوم جوانه های کریستالی تحت حرارت دهی هیدروترمال به طور پیوسته رشد می کنند تا به شکل و اندازه نهایی برسند [۱۲]. تانک^۱ و همکارانش نیز معتقدند که دلیل این پدیده، تغییر در رشد صفحات کریستالی به واسطه حضور یون کبالت به منظور به حداقل رساندن انرژی است [۸]. دلیل دیگری که می توان برای این پدیده مطرح کرد این است که حضور کبالت به عنوان ممانعت کننده رشد کریستال باعث افزایش زمانی می شود که نیاز است تا جوانه ایجاد شده رشد کرده و به حد بحرانی خود برسد. پس از آنجایی که زمان سنتز هیدروکسی آپاتیت و کبالت- هیدروکسی آپاتیت ثابت بوده است می توان نتیجه گرفت که دلیل تغییر مورفولوژی آنها زمان ناکافی برای رشد طولی ذرات کبالت- هیدروکسی آپاتیت و در نهایت کروی شدن آنها است [۱۱].

۴-۳- بررسی رفتار مغناطیسی ماده با استفاده از مغناطیس سنجی نمونه ارتعاشی (VSM)

شکل (۴) منحنی M-H (میدان مغناطیسی- مغناطش) نانوذرات هیدروکسی آپاتیت را نشان می دهد. همان طور که ملاحظه می شود نانوذرات هیدروکسی آپاتیت از خود رفتار دیامغناطیس نشان می دهند. رفتار مغناطیسی ماده پس از دوپ شدن کبالت در ساختار هیدروکسی آپاتیت تغییر کرده و از حالت دیامغناطیس به حالت پارامغناطیس تبدیل می شود که

محدوده $1650 - 1600 \text{ cm}^{-1}$ مربوط حرکات کششی آب می باشد که مشخص می کند مولکول آب جذب سطح شده است.

پیک های ملاحظه شده در محدوده $1460 - 1400 \text{ cm}^{-1}$ ناشی از گروه ارتعاشی CO_3^{2-} می باشد که در اثر جذب CO_2 موجود در محیط اطراف ایجاد شده است. حضور پیک CO_3^{2-} به این دلیل می تواند باشد که یون های کلسیم و کبالت موجود بر سطح کریستال های هیدروکسی آپاتیت با CO_2 موجود در هوا پیوند برقرار می کنند [۱۰].



شکل ۲. طیف FTIR برای نمونه سنتزی HAp و CoHAp5.

۳-۳- بررسی ریزساختار و مورفولوژی با استفاده از

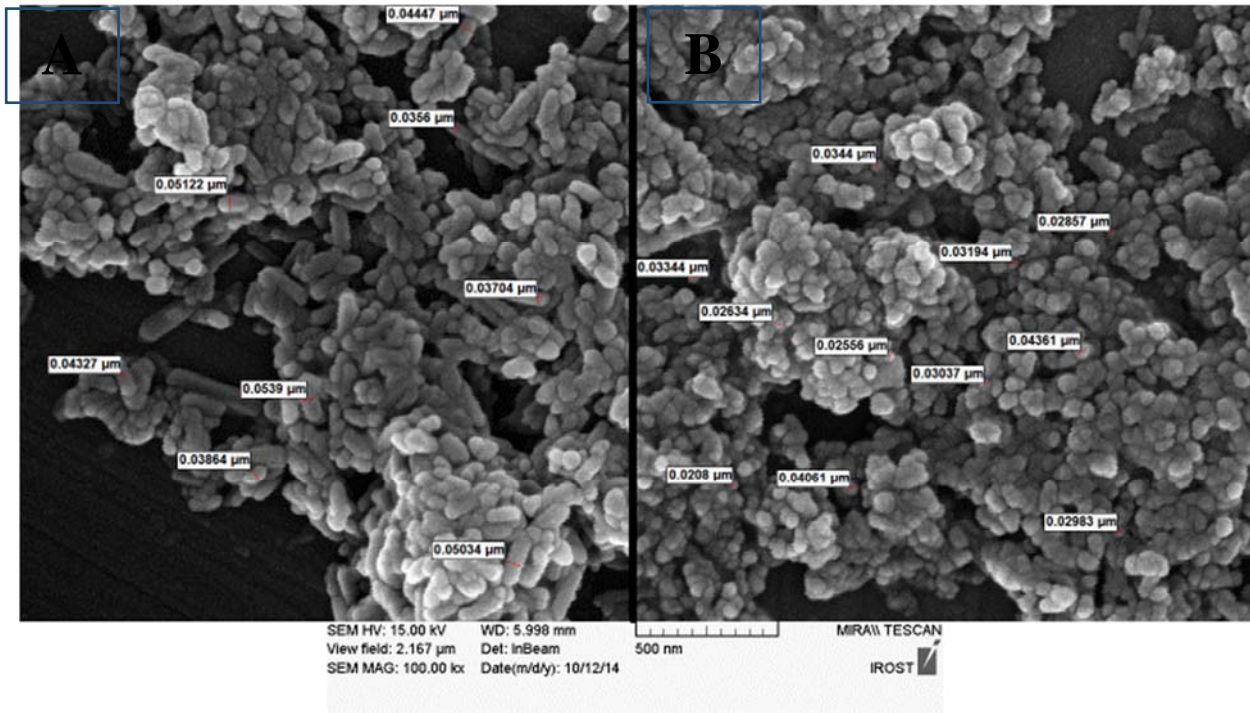
میکروسکوپ الکترونی روبشی نشر میدانی (FESEM)

در شکل (۳) تصاویر میکروسکوپ الکترونی روبشی نشر میدانی نمونه های HAp و CoHAp5 مشاهده می شود. همان طور که دیده می شود، همه نمونه ها به صورت قابل توجهی آگلومره شده اند. همچنین با افزایش جایگزینی کبالت در داخل هیدروکسی آپاتیت ملاحظه می شود که اندازه ذرات کوچک تر شده است بطوری که در ساختار هیدروکسی آپاتیت اندازه ذرات کوچک تر از ۷۰ نانومتر می باشد در حالی که در ساختار کبالت- هیدروکسی آپاتیت ۵ wt% ملاحظه می شود که اندازه ذرات کوچک تر از ۴۰ نانومتر می باشد. این در حالی است که در یکی از مطالعات صورت گرفته این اندازه از میزان متوسط ۹۰ نانومتر به ۶۳ نانومتر کاهش پیدا کرده است [۶]. یکی از دلایل آن را می توان اینگونه توضیح داد که به دلیل اندازه شعاع یونی کوچک تر یون کبالت از کلسیم، در اثر جایگزینی یون کبالت،

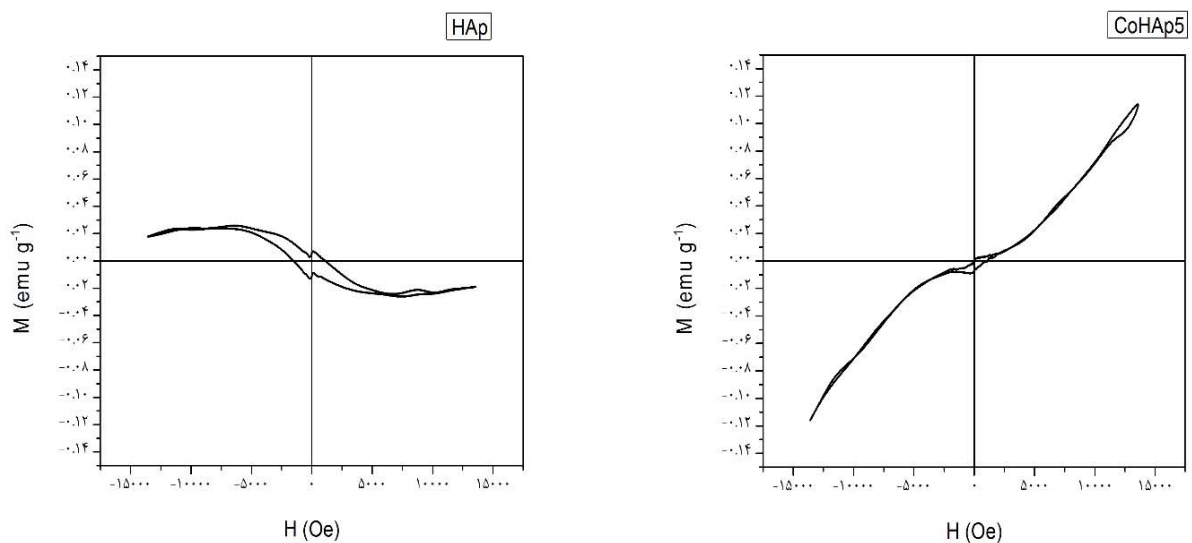
انواع سنتز شده به روش مایکروویو و هیدروترمال و همین طور با روش های تعویض یونی و شیمیایی تر از خود نشان داده است بطوریکه میزان مغناطش آن تقریباً به بیش از دوبرابر کارهای فوق افزایش یافته است [۴][۹].

این تغییر رفتار نشان دهنده حضور کبات در ساختار هیدروکسی آپاتیت می باشد.

خواص مغناطیسی حاصل از کبات- هیدروکسی آپاتیت سنتز شده در کار پیش رو، نتایج بسیار بهتری در مقایسه با



شکل ۳. تصویر FESEM (A) HAp و (B) CoHAp5



شکل ۴. رفتار مغناطیسی HAp و CoHAp5

۴- نتیجه گیری

هیدروکسی آپاتیت به عنوان زیست ماده ای زیست سازگار در کاربردهای استخوانی مطرح می باشد. کبالت به عنوان عنصری مغناطیسی در ساختار هیدروکسی آپاتیت دوپ شده و خواص مغناطیسی و فیزیکی آن را تحت تأثیر قرار می دهد. با استناد بر آنالیز پراش پرتو ایکس و همین طور طیف سنجی تبدیل فوریه فرسرخ، تشکیل هیدروکسی آپاتیت و دوپ شدن کبالت در ساختار آن تأیید می گردد. همچنین با دوپ شدن کبالت در ساختار هیدروکسی آپاتیت، مورفولوژی و اندازه ذرات آن تغییر می کند و همچنین ماهیت مغناطیسی ماده از حالت دیامغناطیس به پارامغناطیس تبدیل می شود. تلفیق ویژگی های زیست سازگاری و مغناطیسی با هم، این ترکیب را به عنوان یک ترکیب منحصر به فرد معرفی می کند که می توان از آن در کاربردهای مختلف پزشکی استفاده کرد.

مراجع

8. Tank, K. P. , Chudasama, K. S. , Thaker, V. S. , Joshi, M. J. , "Cobalt-doped nanohydroxyapatite: synthesis, characterization, antimicrobial and hemolytic studies," *J. nanoparticle Res.*, 15, 5, 1-11, 2013.
9. Kulanthaivel, S., Mishra, U. , Agarwal, T. , Giri, S. Pal, K. , Pramanik, K., Banerjee, I., "Improving the osteogenic and angiogenic properties of synthetic hydroxyapatite by dual doping of bivalent cobalt and magnesium ion," *Ceram. Int.*, 2015.
10. Stani, V. , Dimitrijevi, S., Anti -Stankovi, J., Mitri, M., Joki, B., Ple a, I.B., Rai evi, S., "Synthesis, characterization and antimicrobial activity of copper and zinc-doped hydroxyapatite nanopowders," *Appl. Surf. Sci.*, 256, 20, 6083-6089, 2010.
11. Amjad, Z., *Advances in crystal growth inhibition technologies*. Springer, 2000.
12. Sadat-Shojai, M., Khorasani, M.-T. , Dinpanah-Khoshdargi, E., Jamshidi, A., "Synthesis methods for nanosized hydroxyapatite with diverse structures," *Acta Biomater.*, 9, 8, 7591-7621, 2013.
1. Zhou, H. , Lee, J., "Nanoscale hydroxyapatite particles for bone tissue engineering," *Acta Biomater.*, 2011, 7, 7, 2769-2781.
2. Kolmas, J., Groszyk, E. , Kwiatkowska-R ycka, D., "Substituted Hydroxyapatites with Antibacterial Properties," *Biomed Res. Int.*, 2014, 2014.
3. Elkabouss, K., Kacimi, M., Ziyad, M., Ammar, S., Bozon-Verduraz, F., "Cobalt-exchanged hydroxyapatite catalysts: magnetic studies, spectroscopic investigations, performance in 2-butanol and ethane oxidative dehydrogenations," *J. Catal.*, 2004, 226, 1, 16-24.
4. Kramer, E. , Itzkowitz, E., Wei, M., "Synthesis and characterization of cobalt-substituted hydroxyapatite powders," *Ceram. Int.*, 2014.
5. Ignjatovi, N., Ajdukovi, Z., Savi, V., Najman, S., Mihailovi, D., Vasiljevi, P., Stojanovi, Z., Uskokovi, V., Uskokovi, D., "Nanoparticles of cobalt-substituted hydroxyapatite in regeneration of mandibular osteoporotic bones," *J. Mater. Sci. Mater. Med.*, 24, 2, 343-354, 2013.
6. Stojanovi, Z., Veselinovi, L., Markovi, S., Ignjatovi, N., Uskokovi, D., "Hydrothermal synthesis of nanosized pure and cobalt-exchanged hydroxyapatite," *Mater. Manuf. Process.*, 24, 10-11, 1096-1103, 2009.
7. Veselinovic, L. , Karanovic, L., Stojanovic, Z., Bracko, I., Markovic, S., Ignjatovic, N., Uskokovic, D. "Crystal structure of cobalt-substituted calcium hydroxyapatite nanopowders prepared by hydrothermal processing," *J. Appl. Crystallogr.*, 43, 2, 320-327, 2010.